Ein und Ausgabe: Farbmetrisches Drucker-Reflektiv-System FRS19_96, L*=19_96 für relativen CIELAB-Buntton $h^* = lab^*h^* = h_{ab}/360 = 0.451$ $u^*_E = g00b$

Daten für jede Farbe:
*lab*tch** und *lab*icu**
Buntontexte: $u^*_T = g00b$ $u^*_A = y99l$
Kontrastreduzierungsfaktor: $c_B = 1.0$
Dreiecks-Helligkeit t^*

Daten für Maximalfarbe (Ma):
$LAB^*LAB^*_{Ma}$: 53 −65 21
$LAB^*LCH^*_{Ma}$: 53 69 162
$lab^*rgb^*_{Ma}$: 0.0 1.0 0.0
$lab^*olv^*_{Ma}$: 0.0 1.0 0.0
Dreiecks-Helligkeit t^*

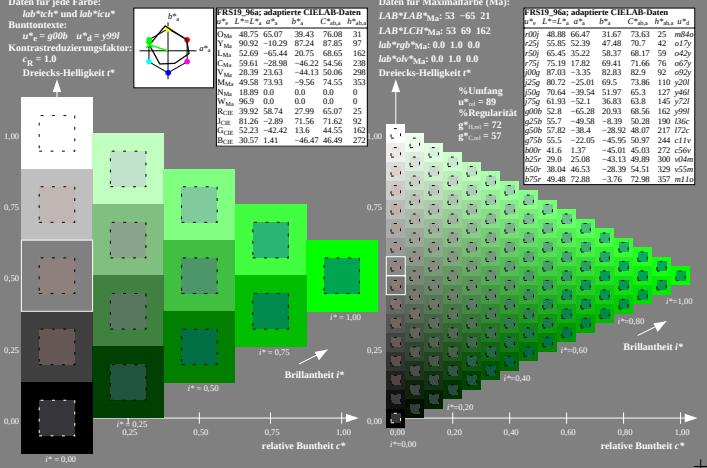

Ein und Ausgabe: Farbmetrisches Drucker-Reflektiv-System FRS19_96, L*=19_96 für relativen CIELAB-Buntton $h^* = lab^*h^* = h_{ab}/360 = 0.527$ $u^*_E = g25b$

Daten für jede Farbe:
*lab*tch** und *lab*icu**
Buntontexte: $u^*_T = g25b$ $u^*_A = l36c$
Kontrastreduzierungsfaktor: $c_B = 1.0$
Dreiecks-Helligkeit t^*

Daten für Maximalfarbe (Ma):
$LAB^*LAB^*_{Ma}$: 56 −50 −8
$LAB^*LCH^*_{Ma}$: 56 50 189
$lab^*rgb^*_{Ma}$: 0.0 1.0 0.5
$lab^*olv^*_{Ma}$: 0.0 1.0 0.36
Dreiecks-Helligkeit t^*

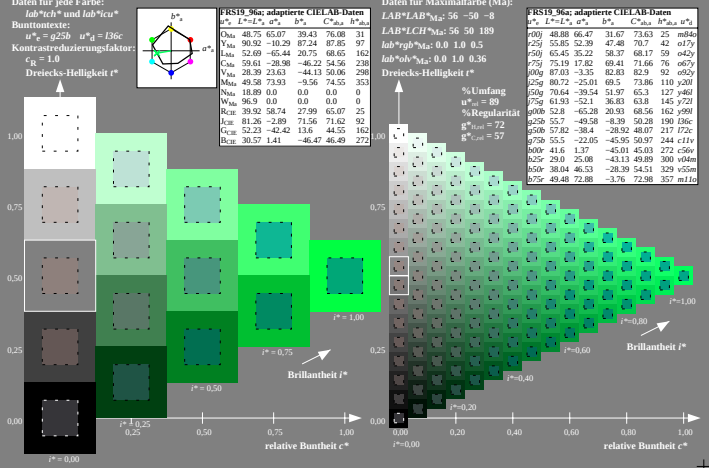

Ein und Ausgabe: Farbmetrisches Drucker-Reflektiv-System FRS19_96, L*=19_96 für relativen CIELAB-Buntton $h^* = lab^*h^* = h_{ab}/360 = 0.603$ $u^*_E = g50b$

Daten für jede Farbe:
*lab*tch** und *lab*icu**
Buntontexte: $u^*_T = g50b$ $u^*_A = l72c$
Kontrastreduzierungsfaktor: $c_B = 1.0$
Dreiecks-Helligkeit t^*

Daten für Maximalfarbe (Ma):
$LAB^*LAB^*_{Ma}$: 58 −38 −29
$LAB^*LCH^*_{Ma}$: 58 48 216
$lab^*rgb^*_{Ma}$: 0.0 1.0 1.0
$lab^*olv^*_{Ma}$: 0.0 1.0 0.72
Dreiecks-Helligkeit t^*

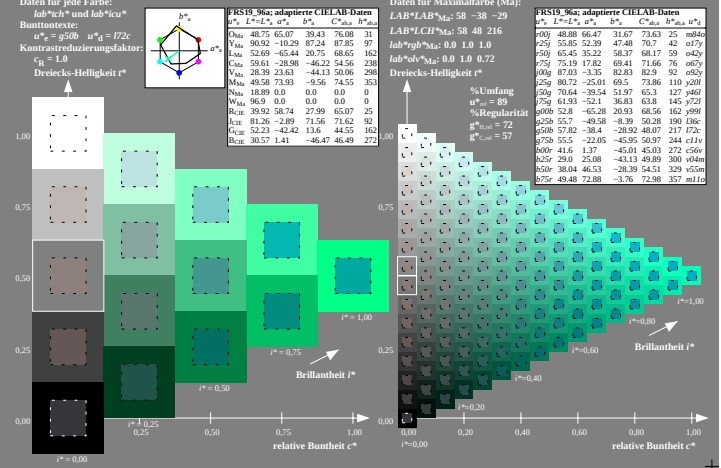

Ein und Ausgabe: Farbmetrisches Drucker-Reflektiv-System FRS19_96, L*=19_96 für relativen CIELAB-Buntton $h^* = lab^*h^* = h_{ab}/360 = 0.679$ $u^*_E = g75b$

Daten für jede Farbe:
*lab*tch** und *lab*icu**
Buntontexte: $u^*_T = g75b$ $u^*_A = c11v$
Kontrastreduzierungsfaktor: $c_B = 1.0$
Dreiecks-Helligkeit t^*

Daten für Maximalfarbe (Ma):
$LAB^*LAB^*_{Ma}$: 55 −22 −46
$LAB^*LCH^*_{Ma}$: 55 51 244
$lab^*rgb^*_{Ma}$: 0.0 0.5 1.0
$lab^*olv^*_{Ma}$: 0.0 0.89 1.0
Dreiecks-Helligkeit t^*

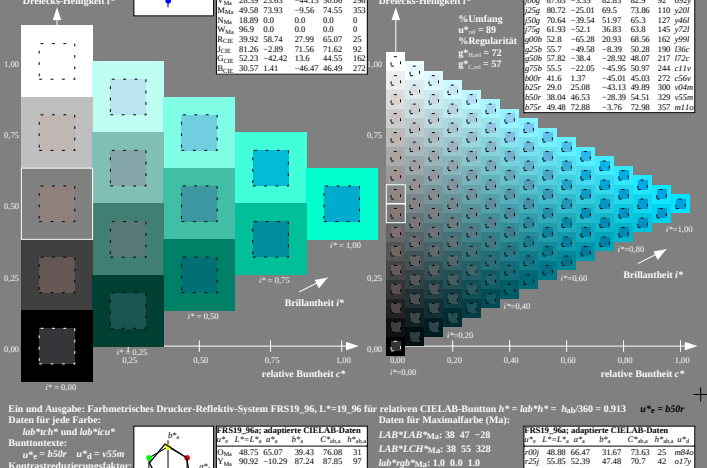

Ein und Ausgabe: Farbmetrisches Drucker-Reflektiv-System FRS19_96, L*=19_96 für relativen CIELAB-Buntton $h^* = lab^*h^* = h_{ab}/360 = 0.755$ $u^*_E = b00r$

Daten für jede Farbe:
*lab*tch** und *lab*icu**
Buntontexte: $u^*_T = b00r$ $u^*_A = c56v$
Kontrastreduzierungsfaktor: $c_B = 1.0$
Dreiecks-Helligkeit t^*

Daten für Maximalfarbe (Ma):
$LAB^*LAB^*_{Ma}$: 42 1 −45
$LAB^*LCH^*_{Ma}$: 42 45 271
$lab^*rgb^*_{Ma}$: 0.0 0.0 1.0
$lab^*olv^*_{Ma}$: 0.0 0.44 1.0
Dreiecks-Helligkeit t^*

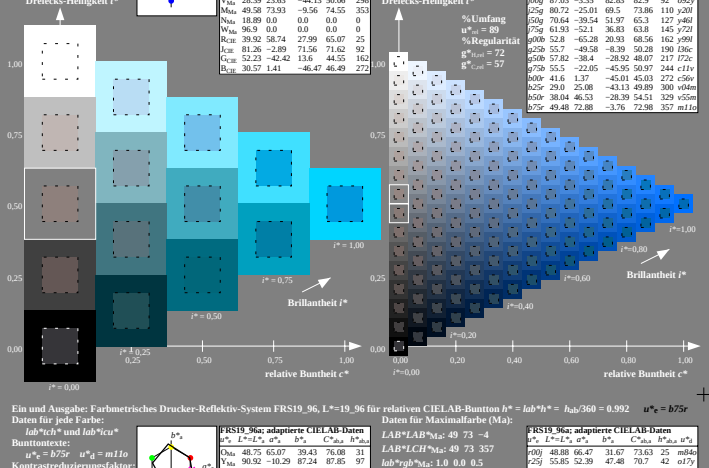

Ein und Ausgabe: Farbmetrisches Drucker-Reflektiv-System FRS19_96, L*=19_96 für relativen CIELAB-Buntton $h^* = lab^*h^* = h_{ab}/360 = 0.834$ $u^*_E = b25r$

Daten für jede Farbe:
*lab*tch** und *lab*icu**
Buntontexte: $u^*_T = b25r$ $u^*_A = v04m$
Kontrastreduzierungsfaktor: $c_B = 1.0$
Dreiecks-Helligkeit t^*

Daten für Maximalfarbe (Ma):
$LAB^*LAB^*_{Ma}$: 29 25 −43
$LAB^*LCH^*_{Ma}$: 29 50 300
$lab^*rgb^*_{Ma}$: 0.5 0.0 1.0
$lab^*olv^*_{Ma}$: 0.04 0.0 1.0
Dreiecks-Helligkeit t^*

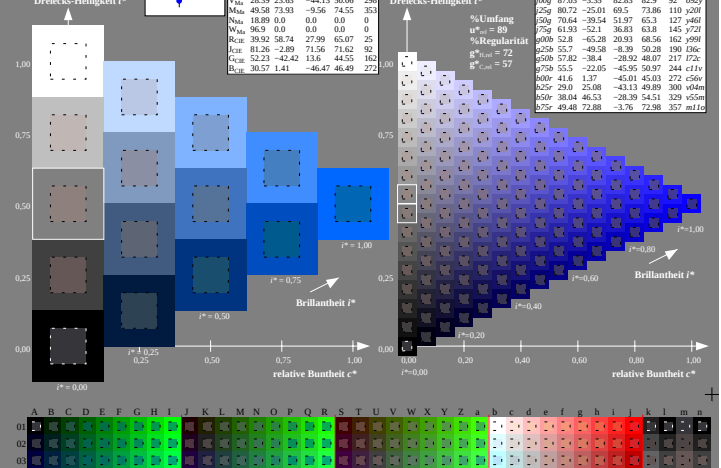

Ein und Ausgabe: Farbmetrisches Drucker-Reflektiv-System FRS19_96, L*=19_96 für relativen CIELAB-Buntton $h^* = lab^*h^* = h_{ab}/360 = 0.913$ $u^*_E = b50r$

Daten für jede Farbe:
*lab*tch** und *lab*icu**
Buntontexte: $u^*_T = b50r$ $u^*_A = v55m$
Kontrastreduzierungsfaktor: $c_B = 1.0$
Dreiecks-Helligkeit t^*

Daten für Maximalfarbe (Ma):
$LAB^*LAB^*_{Ma}$: 38 47 −28
$LAB^*LCH^*_{Ma}$: 38 55 328
$lab^*rgb^*_{Ma}$: 1.0 0.0 1.0
$lab^*olv^*_{Ma}$: 0.56 0.0 1.0
Dreiecks-Helligkeit t^*

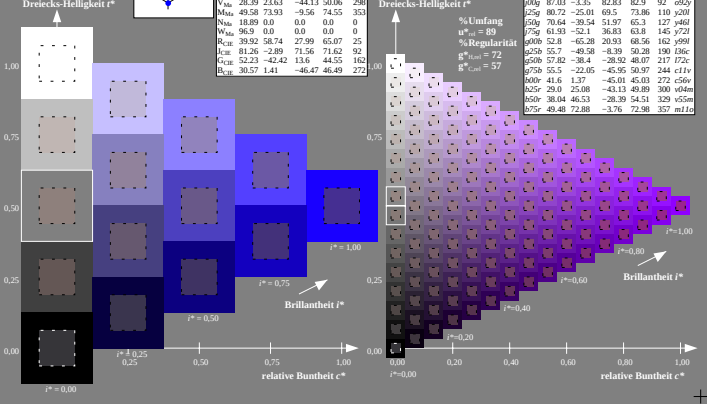

Ein und Ausgabe: Farbmetrisches Drucker-Reflektiv-System FRS19_96, L*=19_96 für relativen CIELAB-Buntton $h^* = lab^*h^* = h_{ab}/360 = 0.992$ $u^*_E = b75r$

Daten für jede Farbe:
*lab*tch** und *lab*icu**
Buntontexte: $u^*_T = b75r$ $u^*_A = m11o$
Kontrastreduzierungsfaktor: $c_B = 1.0$
Dreiecks-Helligkeit t^*

Daten für Maximalfarbe (Ma):
$LAB^*LAB^*_{Ma}$: 49 73 −4
$LAB^*LCH^*_{Ma}$: 49 73 357
$lab^*rgb^*_{Ma}$: 1.0 0.0 0.5
$lab^*olv^*_{Ma}$: 1.0 0.0 0.89
Dreiecks-Helligkeit t^*

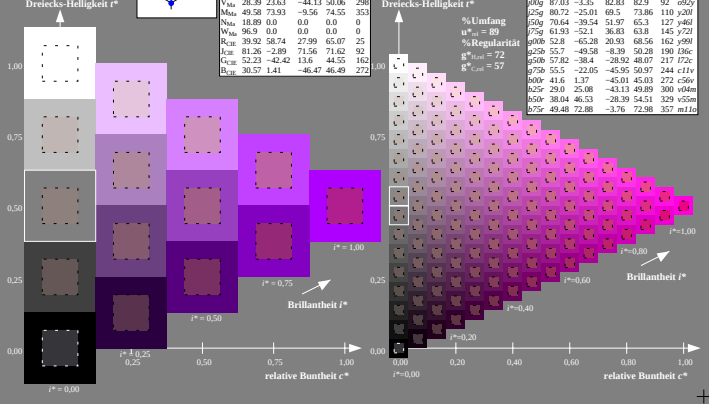

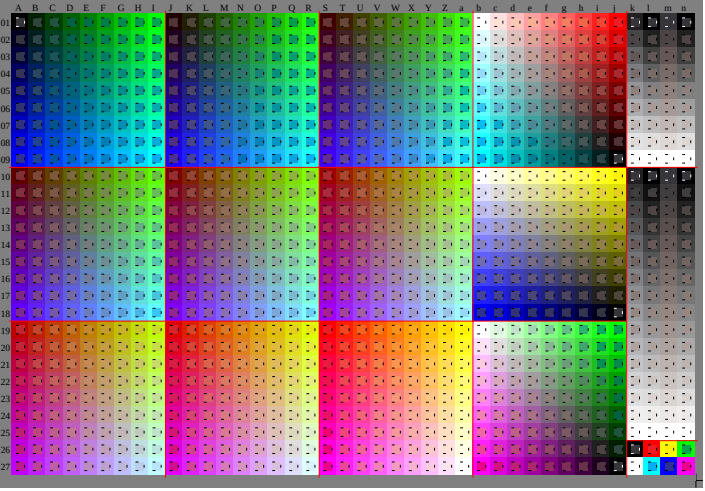

Ein und Ausgabe: Farbmetrisches Drucker-Reflektiv-System FRS19_96, L*=19_96 für relativen CIELAB-Buntton $h^* = lab^*h^* = R_{ab}/360 = 0.451$ $u^*_E = g00b$

Daten für jede Farbe:
*lab*tch** und *lab*icu**
Buntontexte:
$u^*_E = g00b$ $u^*_A = y99l$
Kontrastreduzierungsfaktor:
$c_{Ib} = 1.0$
Dreiecks-Helligkeit t^*

Daten für Maximalfarbe (Ma):
*LAB*LAB*$_{Ma}$: 53 −65 21
*LAB*LCH*$_{Ma}$: 53 69 162
*lab*rgb*$_{Ma}$: 0.0 1.0 0.0
*lab*olv*$_{Ma}$: 0.0 1.0 0.0
Dreiecks-Helligkeit t^*

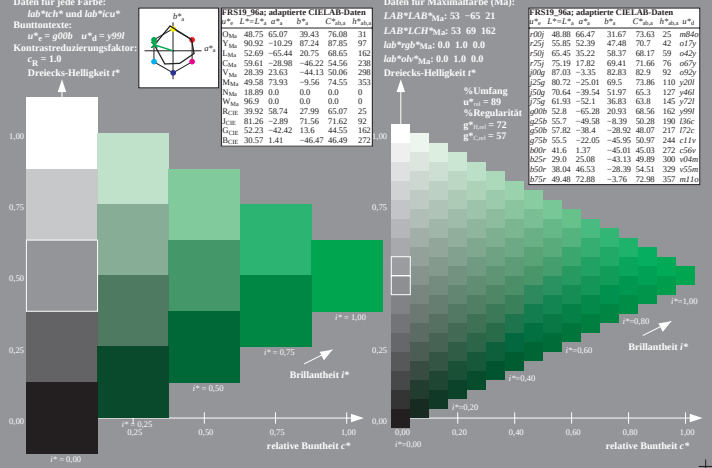

FRS19_96a; adaptierte CIELAB-Daten

u^*_E	$L^*=L^*_A$	a^*_A	b^*_A	$C^*_{ab,A}$	$h^*_{ab,A}$	u^*_A
O_{Ma}	48.75	65.07	39.43	76.08	31	
Y_{Ma}	90.92	−10.29	87.24	87.85	97	
L_{Ma}	52.69	−65.44	20.75	68.65	162	
C_{Ma}	59.61	−28.98	−46.22	54.56	238	
V_{Ma}	28.39	23.63	−44.13	50.06	298	
M_{Ma}	49.58	73.93	−9.56	74.55	353	
N_{Ma}	18.89	0.0	0.0	0.0	0	
W_{Ma}	96.9	0.0	0.0	0.0	0	
R_{CIE}	39.92	58.74	27.99	65.07	25	
J_{CIE}	81.26	−2.89	71.56	71.62	92	
C_{CIE}	52.23	−42.42	13.6	44.55	162	
B_{CIE}	30.57	1.41	−46.47	46.49	272	

y00j	48.88	66.47	31.67	73.63	25	m84o
r25j	55.85	52.39	47.48	70.7	42	o17y
r50j	65.45	35.22	58.37	68.17	59	o42y
r75j	75.19	17.82	69.41	71.66	76	o67y
g00g	87.03	−3.35	82.83	82.9	92	o92y
g25g	80.72	−25.01	69.5	73.86	110	y20l
g50g	70.64	−39.54	51.97	65.3	127	y46l
g75g	61.93	−52.1	36.83	63.8	145	y72l
g00b	52.8	−65.28	20.93	68.56	162	y99l
g25b	55.7	−49.58	−8.39	50.28	190	l36c
g50b	57.82	−38.4	−28.92	48.07	217	l72c
g75b	55.5	−22.05	−45.95	50.97	244	c11v
b00r	41.6	1.37	−45.01	45.03	272	c56v
b25r	29.0	25.08	−43.13	49.89	300	v04m
b50r	38.04	46.53	−28.39	54.51	329	v55m
b75r	49.48	72.88	−3.76	72.98	357	m11o

Ein und Ausgabe: Farbmetrisches Drucker-Reflektiv-System FRS19_96, L*=19_96 für relativen CIELAB-Buntton $h^* = lab^*h^* = R_{ab}/360 = 0.527$ $u^*_E = g25b$

Daten für jede Farbe:
*lab*tch** und *lab*icu**
Buntontexte:
$u^*_E = g25b$ $u^*_A = l36c$
Kontrastreduzierungsfaktor:
$c_{Ib} = 1.0$
Dreiecks-Helligkeit t^*

Daten für Maximalfarbe (Ma):
*LAB*LAB*$_{Ma}$: 56 −50 −8
*LAB*LCH*$_{Ma}$: 56 50 189
*lab*rgb*$_{Ma}$: 0.0 1.0 0.5
*lab*olv*$_{Ma}$: 0.0 1.0 0.36
Dreiecks-Helligkeit t^*

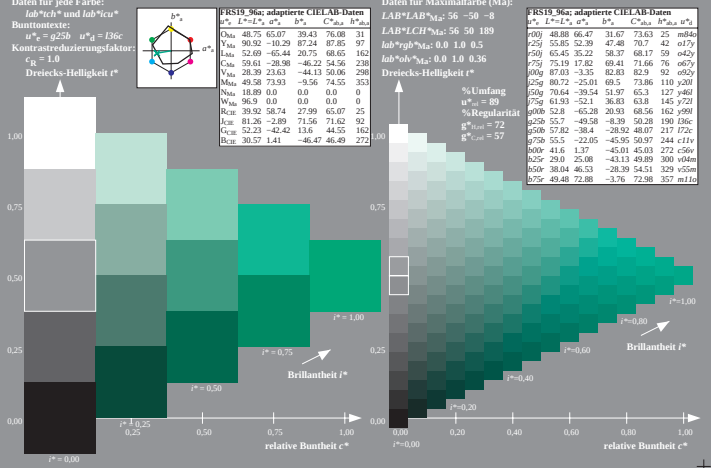

FRS19_96a; adaptierte CIELAB-Daten

u^*_E	$L^*=L^*_A$	a^*_A	b^*_A	$C^*_{ab,A}$	$h^*_{ab,A}$	u^*_A
O_{Ma}	48.75	65.07	39.43	76.08	31	
Y_{Ma}	90.92	−10.29	87.24	87.85	97	
L_{Ma}	52.69	−65.44	20.75	68.65	162	
C_{Ma}	59.61	−28.98	−46.22	54.56	238	
V_{Ma}	28.39	23.63	−44.13	50.06	298	
M_{Ma}	49.58	73.93	−9.56	74.55	353	
N_{Ma}	18.89	0.0	0.0	0.0	0	
W_{Ma}	96.9	0.0	0.0	0.0	0	
R_{CIE}	39.92	58.74	27.99	65.07	25	
J_{CIE}	81.26	−2.89	71.56	71.62	92	
C_{CIE}	52.23	−42.42	13.6	44.55	162	
B_{CIE}	30.57	1.41	−46.47	46.49	272	

y00j	48.88	66.47	31.67	73.63	25	m84o
r25j	55.85	52.39	47.48	70.7	42	o17y
r50j	65.45	35.22	58.37	68.17	59	o42y
r75j	75.19	17.82	69.41	71.66	76	o67y
g00g	87.03	−3.35	82.83	82.9	92	o92y
g25g	80.72	−25.01	69.5	73.86	110	y20l
g50g	70.64	−39.54	51.97	65.3	127	y46l
g75g	61.93	−52.1	36.83	63.8	145	y72l
g00b	52.8	−65.28	20.93	68.56	162	y99l
g25b	55.7	−49.58	−8.39	50.28	190	l36c
g50b	57.82	−38.4	−28.92	48.07	217	l72c
g75b	55.5	−22.05	−45.95	50.97	244	c11v
b00r	41.6	1.37	−45.01	45.03	272	c56v
b25r	29.0	25.08	−43.13	49.89	300	v04m
b50r	38.04	46.53	−28.39	54.51	329	v55m
b75r	49.48	72.88	−3.76	72.98	357	m11o

Ein und Ausgabe: Farbmetrisches Drucker-Reflektiv-System FRS19_96, L*=19_96 für relativen CIELAB-Buntton $h^* = lab^*h^* = R_{ab}/360 = 0.603$ $u^*_E = g50b$

Daten für jede Farbe:
*lab*tch** und *lab*icu**
Buntontexte:
$u^*_E = g50b$ $u^*_A = l72c$
Kontrastreduzierungsfaktor:
$c_{Ib} = 1.0$
Dreiecks-Helligkeit t^*

Daten für Maximalfarbe (Ma):
*LAB*LAB*$_{Ma}$: 58 −38 −29
*LAB*LCH*$_{Ma}$: 58 48 216
*lab*rgb*$_{Ma}$: 0.0 1.0 1.0
*lab*olv*$_{Ma}$: 0.0 1.0 0.72
Dreiecks-Helligkeit t^*

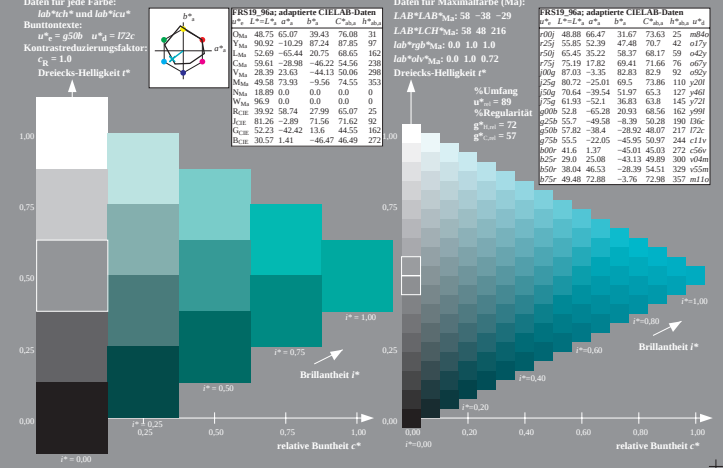

FRS19_96a; adaptierte CIELAB-Daten

u^*_E	$L^*=L^*_A$	a^*_A	b^*_A	$C^*_{ab,A}$	$h^*_{ab,A}$	u^*_A
O_{Ma}	48.75	65.07	39.43	76.08	31	
Y_{Ma}	90.92	−10.29	87.24	87.85	97	
L_{Ma}	52.69	−65.44	20.75	68.65	162	
C_{Ma}	59.61	−28.98	−46.22	54.56	238	
V_{Ma}	28.39	23.63	−44.13	50.06	298	
M_{Ma}	49.58	73.93	−9.56	74.55	353	
N_{Ma}	18.89	0.0	0.0	0.0	0	
W_{Ma}	96.9	0.0	0.0	0.0	0	
R_{CIE}	39.92	58.74	27.99	65.07	25	
J_{CIE}	81.26	−2.89	71.56	71.62	92	
C_{CIE}	52.23	−42.42	13.6	44.55	162	
B_{CIE}	30.57	1.41	−46.47	46.49	272	

y00j	48.88	66.47	31.67	73.63	25	m84o
r25j	55.85	52.39	47.48	70.7	42	o17y
r50j	65.45	35.22	58.37	68.17	59	o42y
r75j	75.19	17.82	69.41	71.66	76	o67y
g00g	87.03	−3.35	82.83	82.9	92	o92y
g25g	80.72	−25.01	69.5	73.86	110	y20l
g50g	70.64	−39.54	51.97	65.3	127	y46l
g75g	61.93	−52.1	36.83	63.8	145	y72l
g00b	52.8	−65.28	20.93	68.56	162	y99l
g25b	55.7	−49.58	−8.39	50.28	190	l36c
g50b	57.82	−38.4	−28.92	48.07	217	l72c
g75b	55.5	−22.05	−45.95	50.97	244	c11v
b00r	41.6	1.37	−45.01	45.03	272	c56v
b25r	29.0	25.08	−43.13	49.89	300	v04m
b50r	38.04	46.53	−28.39	54.51	329	v55m
b75r	49.48	72.88	−3.76	72.98	357	m11o

Ein und Ausgabe: Farbmetrisches Drucker-Reflektiv-System FRS19_96, L*=19_96 für relativen CIELAB-Buntton $h^* = lab^*h^* = R_{ab}/360 = 0.679$ $u^*_E = g75b$

Daten für jede Farbe:
*lab*tch** und *lab*icu**
Buntontexte:
$u^*_E = g75b$ $u^*_A = c11v$
Kontrastreduzierungsfaktor:
$c_{Ib} = 1.0$
Dreiecks-Helligkeit t^*

Daten für Maximalfarbe (Ma):
*LAB*LAB*$_{Ma}$: 55 −22 −46
*LAB*LCH*$_{Ma}$: 55 51 244
*lab*rgb*$_{Ma}$: 0.0 0.5 1.0
*lab*olv*$_{Ma}$: 0.0 0.89 1.0
Dreiecks-Helligkeit t^*

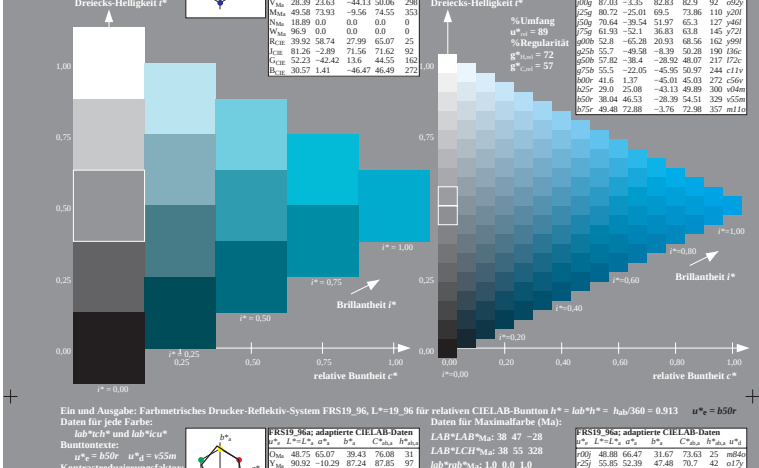

FRS19_96a; adaptierte CIELAB-Daten

u^*_E	$L^*=L^*_A$	a^*_A	b^*_A	$C^*_{ab,A}$	$h^*_{ab,A}$	u^*_A
O_{Ma}	48.75	65.07	39.43	76.08	31	
Y_{Ma}	90.92	−10.29	87.24	87.85	97	
L_{Ma}	52.69	−65.44	20.75	68.65	162	
C_{Ma}	59.61	−28.98	−46.22	54.56	238	
V_{Ma}	28.39	23.63	−44.13	50.06	298	
M_{Ma}	49.58	73.93	−9.56	74.55	353	
N_{Ma}	18.89	0.0	0.0	0.0	0	
W_{Ma}	96.9	0.0	0.0	0.0	0	
R_{CIE}	39.92	58.74	27.99	65.07	25	
J_{CIE}	81.26	−2.89	71.56	71.62	92	
C_{CIE}	52.23	−42.42	13.6	44.55	162	
B_{CIE}	30.57	1.41	−46.47	46.49	272	

y00j	48.88	66.47	31.67	73.63	25	m84o
r25j	55.85	52.39	47.48	70.7	42	o17y
r50j	65.45	35.22	58.37	68.17	59	o42y
r75j	75.19	17.82	69.41	71.66	76	o67y
g00g	87.03	−3.35	82.83	82.9	92	o92y
g25g	80.72	−25.01	69.5	73.86	110	y20l
g50g	70.64	−39.54	51.97	65.3	127	y46l
g75g	61.93	−52.1	36.83	63.8	145	y72l
g00b	52.8	−65.28	20.93	68.56	162	y99l
g25b	55.7	−49.58	−8.39	50.28	190	l36c
g50b	57.82	−38.4	−28.92	48.07	217	l72c
g75b	55.5	−22.05	−45.95	50.97	244	c11v
b00r	41.6	1.37	−45.01	45.03	272	c56v
b25r	29.0	25.08	−43.13	49.89	300	v04m
b50r	38.04	46.53	−28.39	54.51	329	v55m
b75r	49.48	72.88	−3.76	72.98	357	m11o

Ein und Ausgabe: Farbmetrisches Drucker-Reflektiv-System FRS19_96, L*=19_96 für relativen CIELAB-Buntton $h^* = lab^*h^* = R_{ab}/360 = 0.755$ $u^*_E = b00r$

Daten für jede Farbe:
*lab*tch** und *lab*icu**
Buntontexte:
$u^*_E = b00r$ $u^*_A = c56v$
Kontrastreduzierungsfaktor:
$c_{Ib} = 1.0$
Dreiecks-Helligkeit t^*

Daten für Maximalfarbe (Ma):
*LAB*LAB*$_{Ma}$: 42 1 −45
*LAB*LCH*$_{Ma}$: 42 45 271
*lab*rgb*$_{Ma}$: 0.0 0.0 1.0
*lab*olv*$_{Ma}$: 0.0 0.44 1.0
Dreiecks-Helligkeit t^*

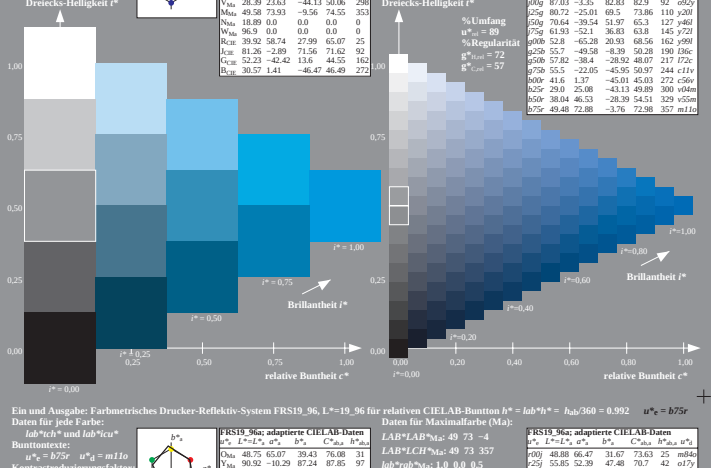

FRS19_96a; adaptierte CIELAB-Daten

u^*_E	$L^*=L^*_A$	a^*_A	b^*_A	$C^*_{ab,A}$	$h^*_{ab,A}$	u^*_A
O_{Ma}	48.75	65.07	39.43	76.08	31	
Y_{Ma}	90.92	−10.29	87.24	87.85	97	
L_{Ma}	52.69	−65.44	20.75	68.65	162	
C_{Ma}	59.61	−28.98	−46.22	54.56	238	
V_{Ma}	28.39	23.63	−44.13	50.06	298	
M_{Ma}	49.58	73.93	−9.56	74.55	353	
N_{Ma}	18.89	0.0	0.0	0.0	0	
W_{Ma}	96.9	0.0	0.0	0.0	0	
R_{CIE}	39.92	58.74	27.99	65.07	25	
J_{CIE}	81.26	−2.89	71.56	71.62	92	
C_{CIE}	52.23	−42.42	13.6	44.55	162	
B_{CIE}	30.57	1.41	−46.47	46.49	272	

y00j	48.88	66.47	31.67	73.63	25	m84o
r25j	55.85	52.39	47.48	70.7	42	o17y
r50j	65.45	35.22	58.37	68.17	59	o42y
r75j	75.19	17.82	69.41	71.66	76	o67y
g00g	87.03	−3.35	82.83	82.9	92	o92y
g25g	80.72	−25.01	69.5	73.86	110	y20l
g50g	70.64	−39.54	51.97	65.3	127	y46l
g75g	61.93	−52.1	36.83	63.8	145	y72l
g00b	52.8	−65.28	20.93	68.56	162	y99l
g25b	55.7	−49.58	−8.39	50.28	190	l36c
g50b	57.82	−38.4	−28.92	48.07	217	l72c
g75b	55.5	−22.05	−45.95	50.97	244	c11v
b00r	41.6	1.37	−45.01	45.03	272	c56v
b25r	29.0	25.08	−43.13	49.89	300	v04m
b50r	38.04	46.53	−28.39	54.51	329	v55m
b75r	49.48	72.88	−3.76	72.98	357	m11o

Ein und Ausgabe: Farbmetrisches Drucker-Reflektiv-System FRS19_96, L*=19_96 für relativen CIELAB-Buntton $h^* = lab^*h^* = R_{ab}/360 = 0.834$ $u^*_E = b25r$

Daten für jede Farbe:
*lab*tch** und *lab*icu**
Buntontexte:
$u^*_E = b25r$ $u^*_A = v04m$
Kontrastreduzierungsfaktor:
$c_{Ib} = 1.0$
Dreiecks-Helligkeit t^*

Daten für Maximalfarbe (Ma):
*LAB*LAB*$_{Ma}$: 29 25 −43
*LAB*LCH*$_{Ma}$: 29 50 300
*lab*rgb*$_{Ma}$: 0.5 0.0 1.0
*lab*olv*$_{Ma}$: 0.04 0.0 1.0
Dreiecks-Helligkeit t^*

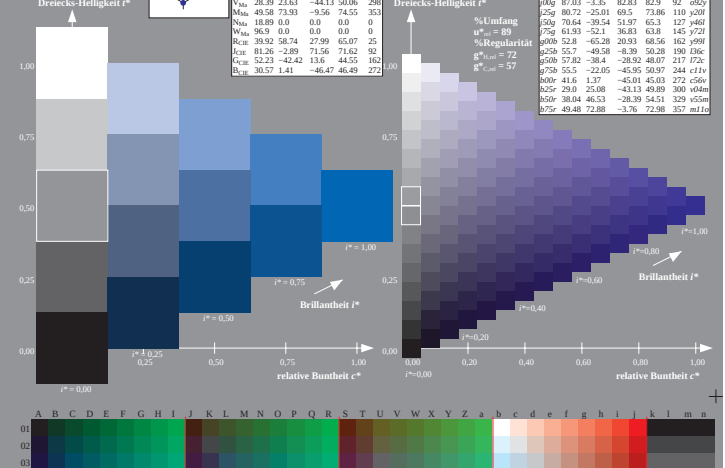

FRS19_96a; adaptierte CIELAB-Daten

u^*_E	$L^*=L^*_A$	a^*_A	b^*_A	$C^*_{ab,A}$	$h^*_{ab,A}$	u^*_A
O_{Ma}	48.75	65.07	39.43	76.08	31	
Y_{Ma}	90.92	−10.29	87.24	87.85	97	
L_{Ma}	52.69	−65.44	20.75	68.65	162	
C_{Ma}	59.61	−28.98	−46.22	54.56	238	
V_{Ma}	28.39	23.63	−44.13	50.06	298	
M_{Ma}	49.58	73.93	−9.56	74.55	353	
N_{Ma}	18.89	0.0	0.0	0.0	0	
W_{Ma}	96.9	0.0	0.0	0.0	0	
R_{CIE}	39.92	58.74	27.99	65.07	25	
J_{CIE}	81.26	−2.89	71.56	71.62	92	
C_{CIE}	52.23	−42.42	13.6	44.55	162	
B_{CIE}	30.57	1.41	−46.47	46.49	272	

y00j	48.88	66.47	31.67	73.63	25	m84o
r25j	55.85	52.39	47.48	70.7	42	o17y
r50j	65.45	35.22	58.37	68.17	59	o42y
r75j	75.19	17.82	69.41	71.66	76	o67y
g00g	87.03	−3.35	82.83	82.9	92	o92y
g25g	80.72	−25.01	69.5	73.86	110	y20l
g50g	70.64	−39.54	51.97	65.3	127	y46l
g75g	61.93	−52.1	36.83	63.8	145	y72l
g00b	52.8	−65.28	20.93	68.56	162	y99l
g25b	55.7	−49.58	−8.39	50.28	190	l36c
g50b	57.82	−38.4	−28.92	48.07	217	l72c
g75b	55.5	−22.05	−45.95	50.97	244	c11v
b00r	41.6	1.37	−45.01	45.03	272	c56v
b25r	29.0	25.08	−43.13	49.89	300	v04m
b50r	38.04	46.53	−28.39	54.51	329	v55m
b75r	49.48	72.88	−3.76	72.98	357	m11o

Ein und Ausgabe: Farbmetrisches Drucker-Reflektiv-System FRS19_96, L*=19_96 für relativen CIELAB-Buntton $h^* = lab^*h^* = R_{ab}/360 = 0.913$ $u^*_E = b50r$

Daten für jede Farbe:
*lab*tch** und *lab*icu**
Buntontexte:
$u^*_E = b50r$ $u^*_A = v55m$
Kontrastreduzierungsfaktor:
$c_{Ib} = 1.0$
Dreiecks-Helligkeit t^*

Daten für Maximalfarbe (Ma):
*LAB*LAB*$_{Ma}$: 38 47 −28
*LAB*LCH*$_{Ma}$: 38 55 328
*lab*rgb*$_{Ma}$: 1.0 0.0 1.0
*lab*olv*$_{Ma}$: 0.56 0.0 1.0
Dreiecks-Helligkeit t^*

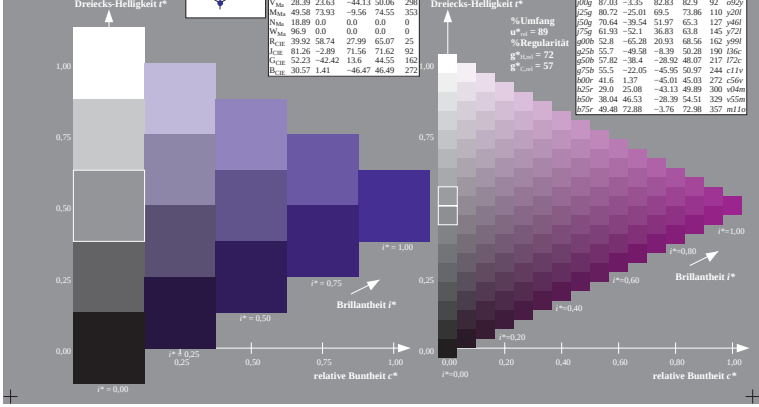

FRS19_96a; adaptierte CIELAB-Daten

u^*_E	$L^*=L^*_A$	a^*_A	b^*_A	$C^*_{ab,A}$	$h^*_{ab,A}$	u^*_A
O_{Ma}	48.75	65.07	39.43	76.08	31	
Y_{Ma}	90.92	−10.29	87.24	87.85	97	
L_{Ma}	52.69	−65.44	20.75	68.65	162	
C_{Ma}	59.61	−28.98	−46.22	54.56	238	
V_{Ma}	28.39	23.63	−44.13	50.06	298	
M_{Ma}	49.58	73.93	−9.56	74.55	353	
N_{Ma}	18.89	0.0	0.0	0.0	0	
W_{Ma}	96.9	0.0	0.0	0.0	0	
R_{CIE}	39.92	58.74	27.99	65.07	25	
J_{CIE}	81.26	−2.89	71.56	71.62	92	
C_{CIE}	52.23	−42.42	13.6	44.55	162	
B_{CIE}	30.57	1.41	−46.47	46.49	272	

y00j	48.88	66.47	31.67	73.63	25	m84o
r25j	55.85	52.39	47.48	70.7	42	o17y
r50j	65.45	35.22	58.37	68.17	59	o42y
r75j	75.19	17.82	69.41	71.66	76	o67y
g00g	87.03	−3.35	82.83	82.9	92	o92y
g25g	80.72	−25.01	69.5	73.86	110	y20l
g50g	70.64	−39.54	51.97	65.3	127	y46l
g75g	61.93	−52.1	36.83	63.8	145	y72l
g00b	52.8	−65.28	20.93	68.56	162	y99l
g25b	55.7	−49.58	−8.39	50.28	190	l36c
g50b	57.82	−38.4	−28.92	48.07	217	l72c
g75b	55.5	−22.05	−45.95	50.97	244	c11v
b00r	41.6	1.37	−45.01	45.03	272	c56v
b25r	29.0	25.08	−43.13	49.89	300	v04m
b50r	38.04	46.53	−28.39	54.51	329	v55m
b75r	49.48	72.88	−3.76	72.98	357	m11o

Ein und Ausgabe: Farbmetrisches Drucker-Reflektiv-System FRS19_96, L*=19_96 für relativen CIELAB-Buntton $h^* = lab^*h^* = R_{ab}/360 = 0.992$ $u^*_E = b75r$

Daten für jede Farbe:
*lab*tch** und *lab*icu**
Buntontexte:
$u^*_E = b75r$ $u^*_A = m11o$
Kontrastreduzierungsfaktor:
$c_{Ib} = 1.0$
Dreiecks-Helligkeit t^*

Daten für Maximalfarbe (Ma):
*LAB*LAB*$_{Ma}$: 49 73 −4
*LAB*LCH*$_{Ma}$: 49 73 357
*lab*rgb*$_{Ma}$: 1.0 0.0 0.5
*lab*olv*$_{Ma}$: 1.0 0.0 0.89
Dreiecks-Helligkeit t^*

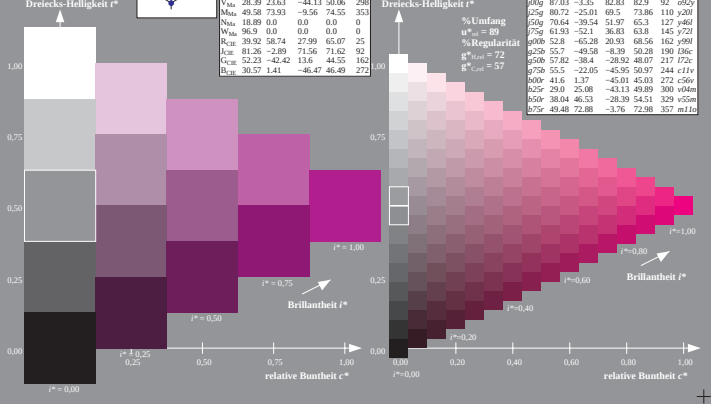

FRS19_96a; adaptierte CIELAB-Daten

u^*_E	$L^*=L^*_A$	a^*_A	b^*_A	$C^*_{ab,A}$	$h^*_{ab,A}$	u^*_A
O_{Ma}	48.75	65.07	39.43	76.08	31	
Y_{Ma}	90.92	−10.29	87.24	87.85	97	
L_{Ma}	52.69	−65.44	20.75	68.65	162	
C_{Ma}	59.61	−28.98	−46.22	54.56	238	
V_{Ma}	28.39	23.63	−44.13	50.06	298	
M_{Ma}	49.58	73.93	−9.56	74.55	353	
N_{Ma}	18.89	0.0	0.0	0.0	0	
W_{Ma}	96.9	0.0	0.0	0.0	0	
R_{CIE}	39.92	58.74	27.99	65.07	25	
J_{CIE}	81.26	−2.89	71.56	71.62	92	
C_{CIE}	52.23	−42.42	13.6	44.55	162	
B_{CIE}	30.57	1.41	−46.47	46.49	272	

y00j	48.88	66.47	31.67	73.63	25	m84o
r25j	55.85	52.39	47.48	70.7	42	o17y
r50j	65.45	35.22	58.37	68.17	59	o42y
r75j	75.19	17.82	69.41	71.66	76	o67y
g00g	87.03	−3.35	82.83	82.9	92	o92y
g25g	80.72	−25.01	69.5	73.86	110	y20l
g50g	70.64	−39.54	51.97	65.3	127	y46l
g75g	61.93	−52.1	36.83	63.8	145	y72l
g00b	52.8	−65.28	20.93	68.56	162	y99l
g25b	55.7	−49.58	−8.39	50.28	190	l36c
g50b	57.82	−38.4	−28.92	48.07	217	l72c
g75b	55.5	−22.05	−45.95	50.97	244	c11v
b00r	41.6	1.37	−45.01	45.03	272	c56v
b25r	29.0	25.08	−43.13	49.89	300	v04m
b50r	38.04	46.53	−28.39	54.51	329	v55m
b75r	49.48	72.88	−3.76	72.98	357	m11o

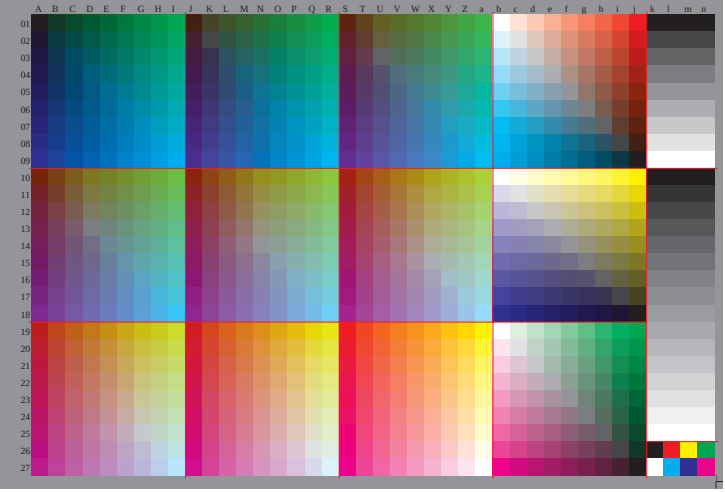

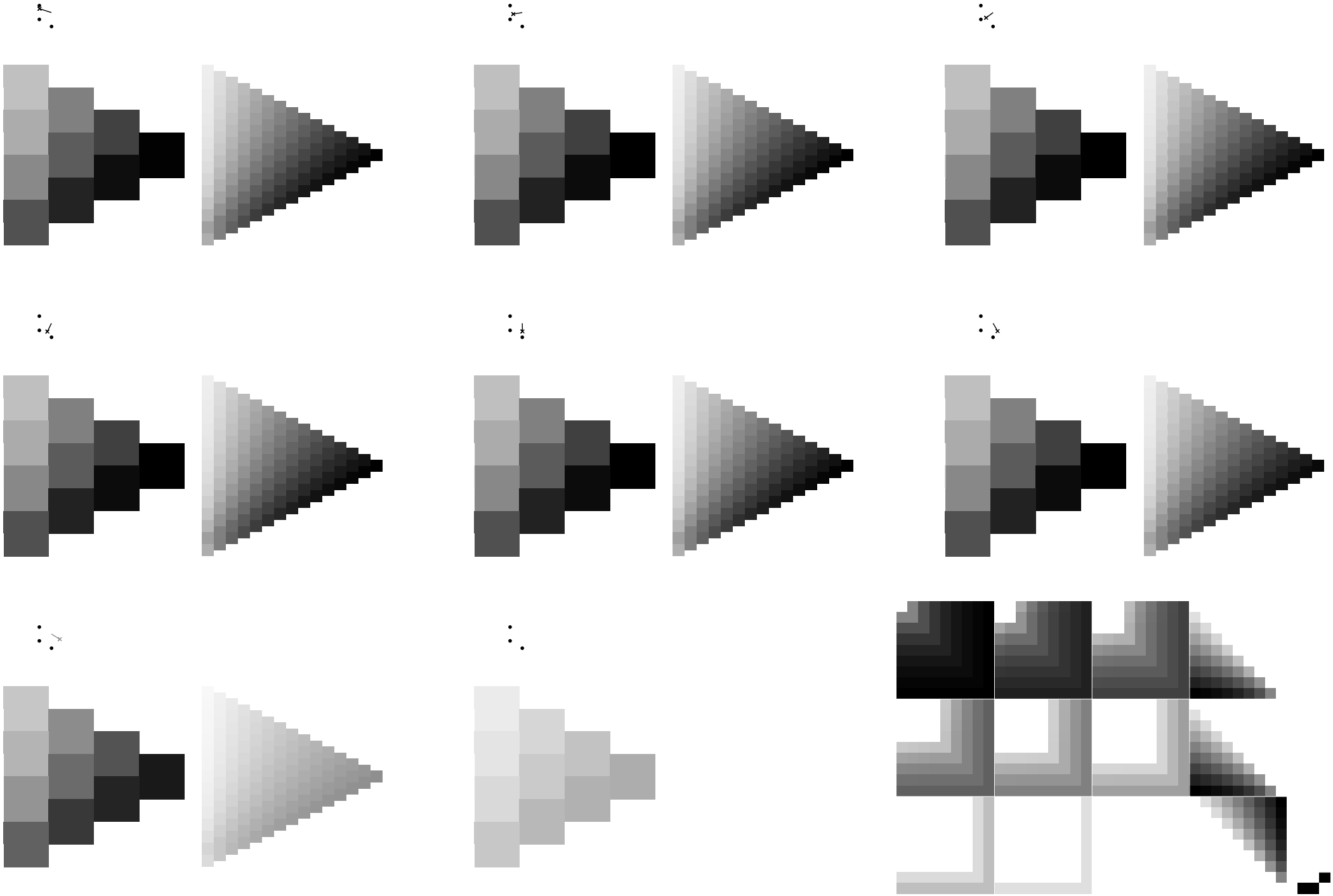

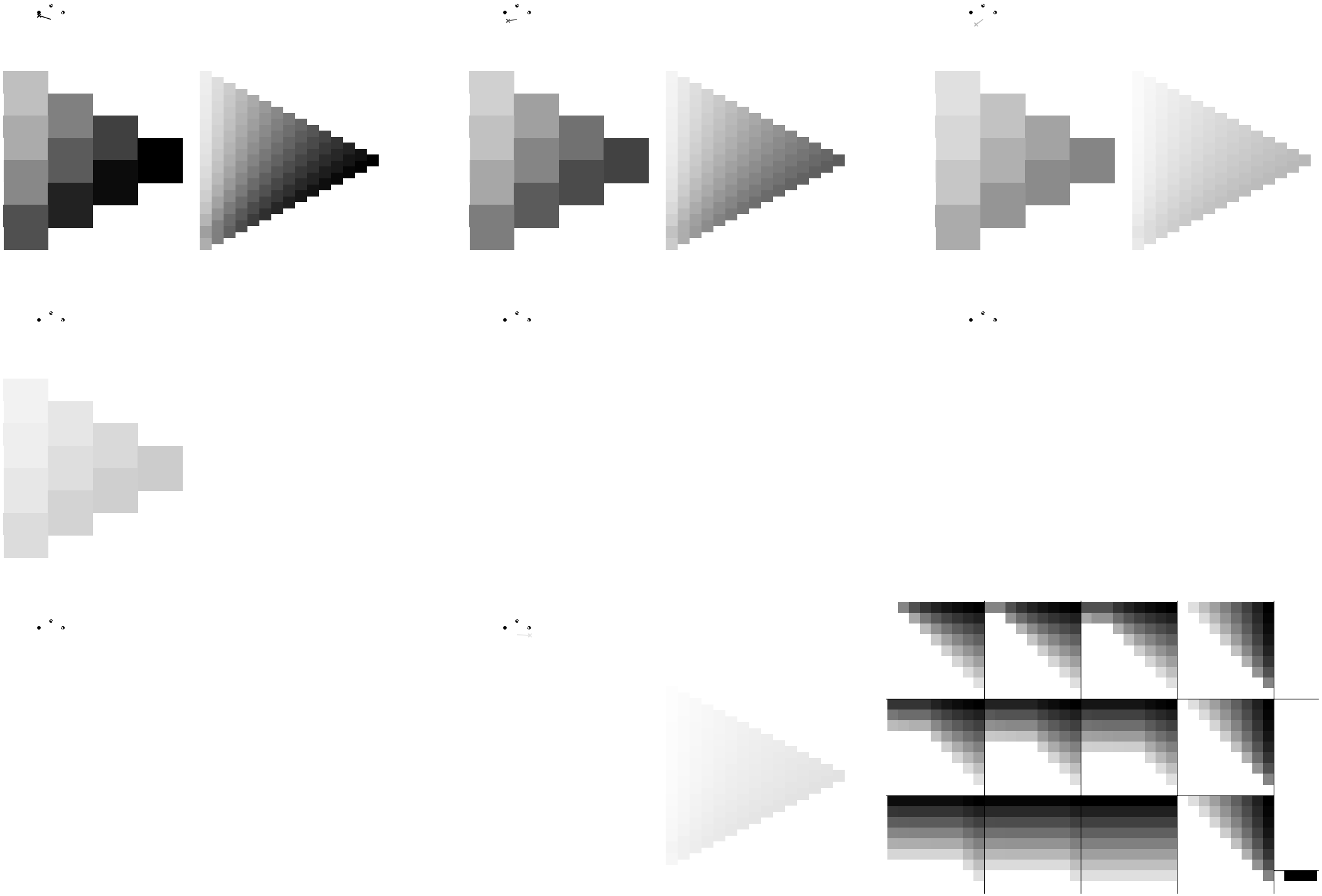

Ein und Ausgabe: Farbmetrisches Drucker-Reflektiv-System FRS19_96, L*=19_96 für relativen CIELAB-Buntton $h^* = lab^*h^* = h_{ab}/360 = 0.451$ $u^*_E = g00b$

Daten für jede Farbe:
*lab*ch** und *lab*icu**
Buntontexte:
u^*_E = *g00b* u^*_A = *y99l*
Kontrastreduzierungsfaktor:
c_R = 1.0
Dreiecks-Helligkeit i^*

Daten für Maximalfarbe (Ma):
*LAB*LAB**$_{Ma}$: 53 −65 21
*LAB*LCH**$_{Ma}$: 53 69 162
*lab*rgb**$_{Ma}$: 0.0 1.0 0.0
*lab*olv**$_{Ma}$: 0.0 1.0 0.0
Dreiecks-Helligkeit i^*

%Umfang
u^*_{vol} = 89
%Regularität
$g^*_{H,rel}$ = 72
$g^*_{C,rel}$ = 57

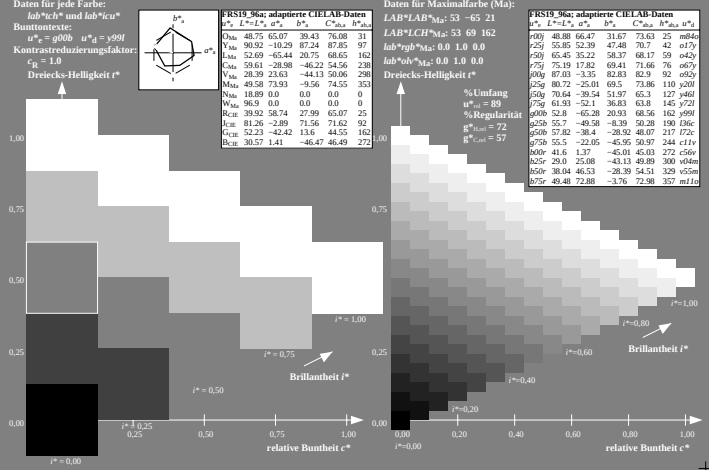

FRS19_96a; adaptierte CIELAB-Daten

u^*_E	$L^*=L^*_E$	a^*_E	b^*_E	$C^*_{ab,E}$	$h^*_{ab,E}$	u^*_A
O_{Ma}	48.75	65.07	39.43	76.08	31	
Y_{Ma}	90.92	−10.29	87.24	87.85	97	
L_{Ma}	52.69	−65.44	20.75	68.65	162	
C_{Ma}	59.61	−28.98	−46.22	54.56	238	
V_{Ma}	28.39	23.63	−44.13	50.06	298	
M_{Ma}	49.58	73.93	−9.56	74.55	353	
N_{Ma}	18.89	0.0	0.0	0.0	0	
W_{Ma}	96.9	0.0	0.0	0.0	0	
R_{CIE}	39.92	58.74	27.99	65.07	25	
J_{CIE}	81.26	−2.89	71.56	71.62	92	
C_{CIE}	52.23	−42.42	13.6	44.55	162	
B_{CIE}	30.57	1.41	−46.47	46.49	272	

u^*_A	$L^*=L^*_A$	a^*_A	b^*_A	$C^*_{ab,A}$	$h^*_{ab,A}$	u^*_E
y00j	48.88	66.47	31.67	73.63	25	*m84o*
r25j	55.85	52.39	47.48	70.7	42	*o17y*
r50j	65.45	35.22	58.37	68.17	59	*o42y*
r75j	75.19	17.82	69.41	71.66	76	*o67y*
y00g	87.03	−3.35	82.83	82.9	92	*o92y*
y25g	80.72	−25.01	69.5	73.86	110	*y20l*
y50g	70.64	−39.54	51.97	65.3	127	*y46l*
y75g	61.93	−52.1	36.83	63.8	145	*y72l*
g00b	52.8	−65.28	20.93	68.56	162	*y99l*
g25b	55.7	−49.58	−8.39	50.28	190	*l36c*
g50b	57.82	−38.4	−28.92	48.07	217	*l72c*
g75b	55.5	−22.05	−45.95	50.97	244	*c11v*
b00r	41.6	1.37	−45.01	45.03	272	*c56v*
b25r	29.0	25.08	−43.13	49.89	300	*v04m*
b50r	38.04	46.53	−28.39	54.51	329	*v55m*
b75r	49.48	72.88	−3.76	72.98	357	*m11o*

Ein und Ausgabe: Farbmetrisches Drucker-Reflektiv-System FRS19_96, L*=19_96 für relativen CIELAB-Buntton $h^* = lab^*h^* = h_{ab}/360 = 0.527$ $u^*_E = g25b$

Daten für jede Farbe:
*lab*ch** und *lab*icu**
Buntontexte:
u^*_E = *g25b* u^*_A = *l36c*
Kontrastreduzierungsfaktor:
c_R = 1.0
Dreiecks-Helligkeit i^*

Daten für Maximalfarbe (Ma):
*LAB*LAB**$_{Ma}$: 56 −50 −8
*LAB*LCH**$_{Ma}$: 56 50 189
*lab*rgb**$_{Ma}$: 0.0 1.0 0.5
*lab*olv**$_{Ma}$: 0.0 1.0 0.36
Dreiecks-Helligkeit i^*

%Umfang
u^*_{vol} = 89
%Regularität
$g^*_{H,rel}$ = 72
$g^*_{C,rel}$ = 57

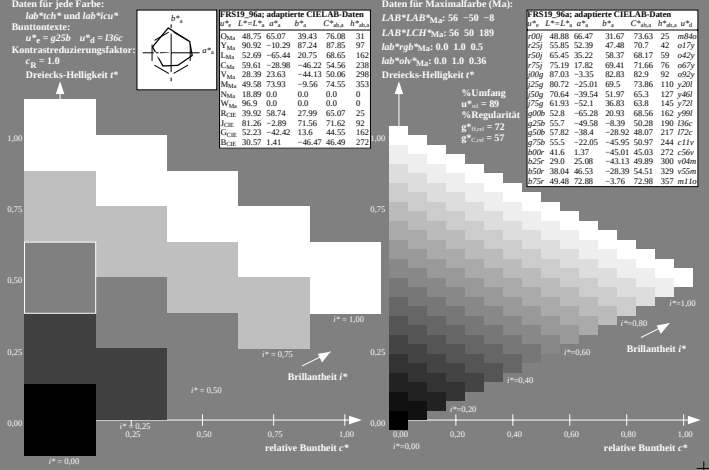

FRS19_96a; adaptierte CIELAB-Daten

u^*_E	$L^*=L^*_E$	a^*_E	b^*_E	$C^*_{ab,E}$	$h^*_{ab,E}$	u^*_A
O_{Ma}	48.75	65.07	39.43	76.08	31	
Y_{Ma}	90.92	−10.29	87.24	87.85	97	
L_{Ma}	52.69	−65.44	20.75	68.65	162	
C_{Ma}	59.61	−28.98	−46.22	54.56	238	
V_{Ma}	28.39	23.63	−44.13	50.06	298	
M_{Ma}	49.58	73.93	−9.56	74.55	353	
N_{Ma}	18.89	0.0	0.0	0.0	0	
W_{Ma}	96.9	0.0	0.0	0.0	0	
R_{CIE}	39.92	58.74	27.99	65.07	25	
J_{CIE}	81.26	−2.89	71.56	71.62	92	
C_{CIE}	52.23	−42.42	13.6	44.55	162	
B_{CIE}	30.57	1.41	−46.47	46.49	272	

u^*_A	$L^*=L^*_A$	a^*_A	b^*_A	$C^*_{ab,A}$	$h^*_{ab,A}$	u^*_E
y00j	48.88	66.47	31.67	73.63	25	*m84o*
r25j	55.85	52.39	47.48	70.7	42	*o17y*
r50j	65.45	35.22	58.37	68.17	59	*o42y*
r75j	75.19	17.82	69.41	71.66	76	*o67y*
y00g	87.03	−3.35	82.83	82.9	92	*o92y*
y25g	80.72	−25.01	69.5	73.86	110	*y20l*
y50g	70.64	−39.54	51.97	65.3	127	*y46l*
y75g	61.93	−52.1	36.83	63.8	145	*y72l*
g00b	52.8	−65.28	20.93	68.56	162	*y99l*
g25b	55.7	−49.58	−8.39	50.28	190	*l36c*
g50b	57.82	−38.4	−28.92	48.07	217	*l72c*
g75b	55.5	−22.05	−45.95	50.97	244	*c11v*
b00r	41.6	1.37	−45.01	45.03	272	*c56v*
b25r	29.0	25.08	−43.13	49.89	300	*v04m*
b50r	38.04	46.53	−28.39	54.51	329	*v55m*
b75r	49.48	72.88	−3.76	72.98	357	*m11o*

Ein und Ausgabe: Farbmetrisches Drucker-Reflektiv-System FRS19_96, L*=19_96 für relativen CIELAB-Buntton $h^* = lab^*h^* = h_{ab}/360 = 0.603$ $u^*_E = g50b$

Daten für jede Farbe:
*lab*ch** und *lab*icu**
Buntontexte:
u^*_E = *g50b* u^*_A = *l72c*
Kontrastreduzierungsfaktor:
c_R = 1.0
Dreiecks-Helligkeit i^*

Daten für Maximalfarbe (Ma):
*LAB*LAB**$_{Ma}$: 58 −38 −29
*LAB*LCH**$_{Ma}$: 58 48 216
*lab*rgb**$_{Ma}$: 0.0 1.0 1.0
*lab*olv**$_{Ma}$: 0.0 1.0 0.72
Dreiecks-Helligkeit i^*

%Umfang
u^*_{vol} = 89
%Regularität
$g^*_{H,rel}$ = 72
$g^*_{C,rel}$ = 57

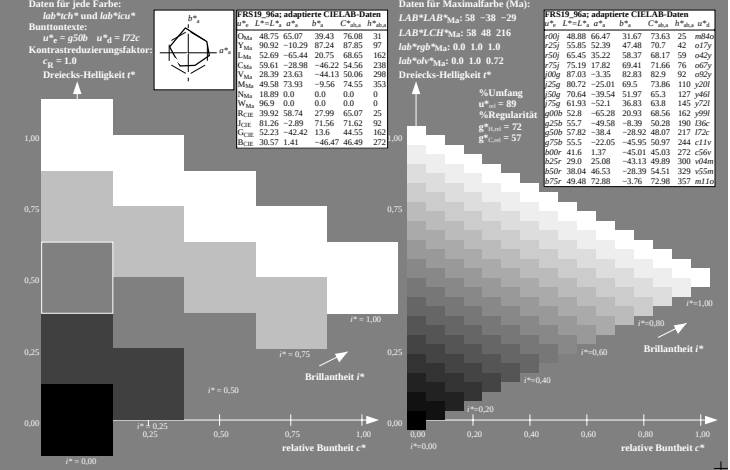

FRS19_96a; adaptierte CIELAB-Daten

u^*_E	$L^*=L^*_E$	a^*_E	b^*_E	$C^*_{ab,E}$	$h^*_{ab,E}$	u^*_A
O_{Ma}	48.75	65.07	39.43	76.08	31	
Y_{Ma}	90.92	−10.29	87.24	87.85	97	
L_{Ma}	52.69	−65.44	20.75	68.65	162	
C_{Ma}	59.61	−28.98	−46.22	54.56	238	
V_{Ma}	28.39	23.63	−44.13	50.06	298	
M_{Ma}	49.58	73.93	−9.56	74.55	353	
N_{Ma}	18.89	0.0	0.0	0.0	0	
W_{Ma}	96.9	0.0	0.0	0.0	0	
R_{CIE}	39.92	58.74	27.99	65.07	25	
J_{CIE}	81.26	−2.89	71.56	71.62	92	
C_{CIE}	52.23	−42.42	13.6	44.55	162	
B_{CIE}	30.57	1.41	−46.47	46.49	272	

u^*_A	$L^*=L^*_A$	a^*_A	b^*_A	$C^*_{ab,A}$	$h^*_{ab,A}$	u^*_E
y00j	48.88	66.47	31.67	73.63	25	*m84o*
r25j	55.85	52.39	47.48	70.7	42	*o17y*
r50j	65.45	35.22	58.37	68.17	59	*o42y*
r75j	75.19	17.82	69.41	71.66	76	*o67y*
y00g	87.03	−3.35	82.83	82.9	92	*o92y*
y25g	80.72	−25.01	69.5	73.86	110	*y20l*
y50g	70.64	−39.54	51.97	65.3	127	*y46l*
y75g	61.93	−52.1	36.83	63.8	145	*y72l*
g00b	52.8	−65.28	20.93	68.56	162	*y99l*
g25b	55.7	−49.58	−8.39	50.28	190	*l36c*
g50b	57.82	−38.4	−28.92	48.07	217	*l72c*
g75b	55.5	−22.05	−45.95	50.97	244	*c11v*
b00r	41.6	1.37	−45.01	45.03	272	*c56v*
b25r	29.0	25.08	−43.13	49.89	300	*v04m*
b50r	38.04	46.53	−28.39	54.51	329	*v55m*
b75r	49.48	72.88	−3.76	72.98	357	*m11o*

Ein und Ausgabe: Farbmetrisches Drucker-Reflektiv-System FRS19_96, L*=19_96 für relativen CIELAB-Buntton $h^* = lab^*h^* = h_{ab}/360 = 0.679$ $u^*_E = g75b$

Daten für jede Farbe:
*lab*ch** und *lab*icu**
Buntontexte:
u^*_E = *g75b* u^*_A = *c11v*
Kontrastreduzierungsfaktor:
c_R = 1.0
Dreiecks-Helligkeit i^*

Daten für Maximalfarbe (Ma):
*LAB*LAB**$_{Ma}$: 55 −22 −46
*LAB*LCH**$_{Ma}$: 55 51 244
*lab*rgb**$_{Ma}$: 0.0 0.5 1.0
*lab*olv**$_{Ma}$: 0.0 0.89 1.0
Dreiecks-Helligkeit i^*

%Umfang
u^*_{vol} = 89
%Regularität
$g^*_{H,rel}$ = 72
$g^*_{C,rel}$ = 57

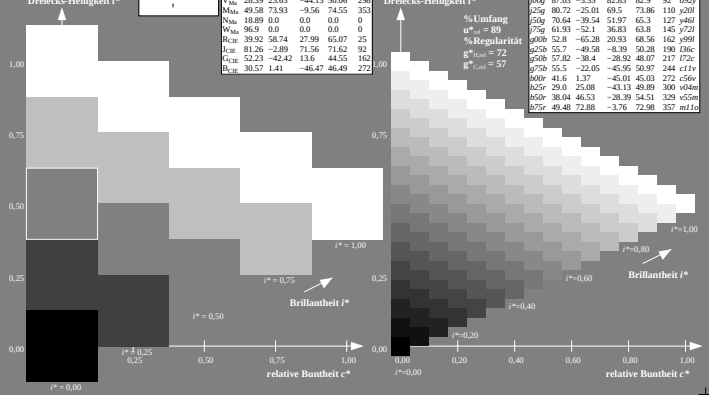

FRS19_96a; adaptierte CIELAB-Daten

u^*_E	$L^*=L^*_E$	a^*_E	b^*_E	$C^*_{ab,E}$	$h^*_{ab,E}$	u^*_A
O_{Ma}	48.75	65.07	39.43	76.08	31	
Y_{Ma}	90.92	−10.29	87.24	87.85	97	
L_{Ma}	52.69	−65.44	20.75	68.65	162	
C_{Ma}	59.61	−28.98	−46.22	54.56	238	
V_{Ma}	28.39	23.63	−44.13	50.06	298	
M_{Ma}	49.58	73.93	−9.56	74.55	353	
N_{Ma}	18.89	0.0	0.0	0.0	0	
W_{Ma}	96.9	0.0	0.0	0.0	0	
R_{CIE}	39.92	58.74	27.99	65.07	25	
J_{CIE}	81.26	−2.89	71.56	71.62	92	
C_{CIE}	52.23	−42.42	13.6	44.55	162	
B_{CIE}	30.57	1.41	−46.47	46.49	272	

u^*_A	$L^*=L^*_A$	a^*_A	b^*_A	$C^*_{ab,A}$	$h^*_{ab,A}$	u^*_E
y00j	48.88	66.47	31.67	73.63	25	*m84o*
r25j	55.85	52.39	47.48	70.7	42	*o17y*
r50j	65.45	35.22	58.37	68.17	59	*o42y*
r75j	75.19	17.82	69.41	71.66	76	*o67y*
y00g	87.03	−3.35	82.83	82.9	92	*o92y*
y25g	80.72	−25.01	69.5	73.86	110	*y20l*
y50g	70.64	−39.54	51.97	65.3	127	*y46l*
y75g	61.93	−52.1	36.83	63.8	145	*y72l*
g00b	52.8	−65.28	20.93	68.56	162	*y99l*
g25b	55.7	−49.58	−8.39	50.28	190	*l36c*
g50b	57.82	−38.4	−28.92	48.07	217	*l72c*
g75b	55.5	−22.05	−45.95	50.97	244	*c11v*
b00r	41.6	1.37	−45.01	45.03	272	*c56v*
b25r	29.0	25.08	−43.13	49.89	300	*v04m*
b50r	38.04	46.53	−28.39	54.51	329	*v55m*
b75r	49.48	72.88	−3.76	72.98	357	*m11o*

Ein und Ausgabe: Farbmetrisches Drucker-Reflektiv-System FRS19_96, L*=19_96 für relativen CIELAB-Buntton $h^* = lab^*h^* = h_{ab}/360 = 0.755$ $u^*_E = b00r$

Daten für jede Farbe:
*lab*ch** und *lab*icu**
Buntontexte:
u^*_E = *b00r* u^*_A = *c56v*
Kontrastreduzierungsfaktor:
c_R = 1.0
Dreiecks-Helligkeit i^*

Daten für Maximalfarbe (Ma):
*LAB*LAB**$_{Ma}$: 42 1 −45
*LAB*LCH**$_{Ma}$: 42 45 271
*lab*rgb**$_{Ma}$: 0.0 0.0 1.0
*lab*olv**$_{Ma}$: 0.0 0.44 1.0
Dreiecks-Helligkeit i^*

%Umfang
u^*_{vol} = 89
%Regularität
$g^*_{H,rel}$ = 72
$g^*_{C,rel}$ = 57

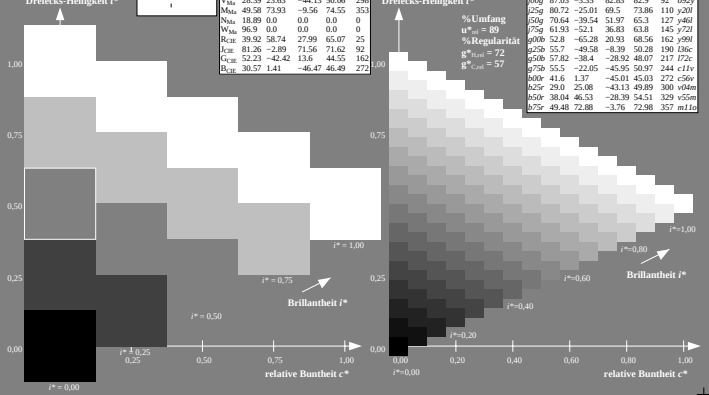

FRS19_96a; adaptierte CIELAB-Daten

u^*_E	$L^*=L^*_E$	a^*_E	b^*_E	$C^*_{ab,E}$	$h^*_{ab,E}$	u^*_A
O_{Ma}	48.75	65.07	39.43	76.08	31	
Y_{Ma}	90.92	−10.29	87.24	87.85	97	
L_{Ma}	52.69	−65.44	20.75	68.65	162	
C_{Ma}	59.61	−28.98	−46.22	54.56	238	
V_{Ma}	28.39	23.63	−44.13	50.06	298	
M_{Ma}	49.58	73.93	−9.56	74.55	353	
N_{Ma}	18.89	0.0	0.0	0.0	0	
W_{Ma}	96.9	0.0	0.0	0.0	0	
R_{CIE}	39.92	58.74	27.99	65.07	25	
J_{CIE}	81.26	−2.89	71.56	71.62	92	
C_{CIE}	52.23	−42.42	13.6	44.55	162	
B_{CIE}	30.57	1.41	−46.47	46.49	272	

u^*_A	$L^*=L^*_A$	a^*_A	b^*_A	$C^*_{ab,A}$	$h^*_{ab,A}$	u^*_E
y00j	48.88	66.47	31.67	73.63	25	*m84o*
r25j	55.85	52.39	47.48	70.7	42	*o17y*
r50j	65.45	35.22	58.37	68.17	59	*o42y*
r75j	75.19	17.82	69.41	71.66	76	*o67y*
y00g	87.03	−3.35	82.83	82.9	92	*o92y*
y25g	80.72	−25.01	69.5	73.86	110	*y20l*
y50g	70.64	−39.54	51.97	65.3	127	*y46l*
y75g	61.93	−52.1	36.83	63.8	145	*y72l*
g00b	52.8	−65.28	20.93	68.56	162	*y99l*
g25b	55.7	−49.58	−8.39	50.28	190	*l36c*
g50b	57.82	−38.4	−28.92	48.07	217	*l72c*
g75b	55.5	−22.05	−45.95	50.97	244	*c11v*
b00r	41.6	1.37	−45.01	45.03	272	*c56v*
b25r	29.0	25.08	−43.13	49.89	300	*v04m*
b50r	38.04	46.53	−28.39	54.51	329	*v55m*
b75r	49.48	72.88	−3.76	72.98	357	*m11o*

Ein und Ausgabe: Farbmetrisches Drucker-Reflektiv-System FRS19_96, L*=19_96 für relativen CIELAB-Buntton $h^* = lab^*h^* = h_{ab}/360 = 0.834$ $u^*_E = b25r$

Daten für jede Farbe:
*lab*ch** und *lab*icu**
Buntontexte:
u^*_E = *b25r* u^*_A = *v04m*
Kontrastreduzierungsfaktor:
c_R = 1.0
Dreiecks-Helligkeit i^*

Daten für Maximalfarbe (Ma):
*LAB*LAB**$_{Ma}$: 29 25 −43
*LAB*LCH**$_{Ma}$: 29 50 300
*lab*rgb**$_{Ma}$: 0.5 0.0 1.0
*lab*olv**$_{Ma}$: 0.04 0.0 1.0
Dreiecks-Helligkeit i^*

%Umfang
u^*_{vol} = 89
%Regularität
$g^*_{H,rel}$ = 72
$g^*_{C,rel}$ = 57

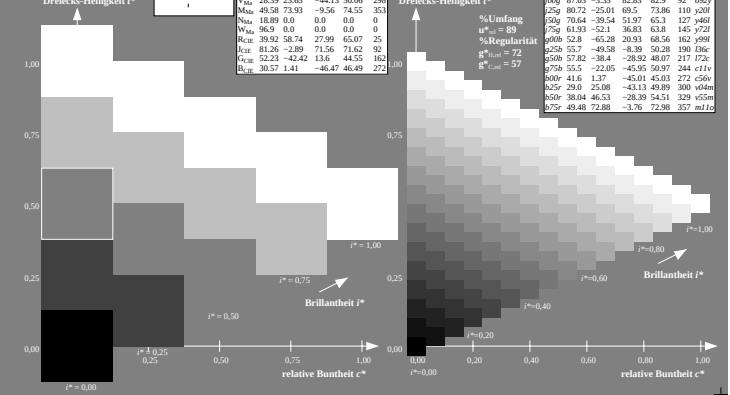

FRS19_96a; adaptierte CIELAB-Daten

u^*_E	$L^*=L^*_E$	a^*_E	b^*_E	$C^*_{ab,E}$	$h^*_{ab,E}$	u^*_A
O_{Ma}	48.75	65.07	39.43	76.08	31	
Y_{Ma}	90.92	−10.29	87.24	87.85	97	
L_{Ma}	52.69	−65.44	20.75	68.65	162	
C_{Ma}	59.61	−28.98	−46.22	54.56	238	
V_{Ma}	28.39	23.63	−44.13	50.06	298	
M_{Ma}	49.58	73.93	−9.56	74.55	353	
N_{Ma}	18.89	0.0	0.0	0.0	0	
W_{Ma}	96.9	0.0	0.0	0.0	0	
R_{CIE}	39.92	58.74	27.99	65.07	25	
J_{CIE}	81.26	−2.89	71.56	71.62	92	
C_{CIE}	52.23	−42.42	13.6	44.55	162	
B_{CIE}	30.57	1.41	−46.47	46.49	272	

u^*_A	$L^*=L^*_A$	a^*_A	b^*_A	$C^*_{ab,A}$	$h^*_{ab,A}$	u^*_E
y00j	48.88	66.47	31.67	73.63	25	*m84o*
r25j	55.85	52.39	47.48	70.7	42	*o17y*
r50j	65.45	35.22	58.37	68.17	59	*o42y*
r75j	75.19	17.82	69.41	71.66	76	*o67y*
y00g	87.03	−3.35	82.83	82.9	92	*o92y*
y25g	80.72	−25.01	69.5	73.86	110	*y20l*
y50g	70.64	−39.54	51.97	65.3	127	*y46l*
y75g	61.93	−52.1	36.83	63.8	145	*y72l*
g00b	52.8	−65.28	20.93	68.56	162	*y99l*
g25b	55.7	−49.58	−8.39	50.28	190	*l36c*
g50b	57.82	−38.4	−28.92	48.07	217	*l72c*
g75b	55.5	−22.05	−45.95	50.97	244	*c11v*
b00r	41.6	1.37	−45.01	45.03	272	*c56v*
b25r	29.0	25.08	−43.13	49.89	300	*v04m*
b50r	38.04	46.53	−28.39	54.51	329	*v55m*
b75r	49.48	72.88	−3.76	72.98	357	*m11o*

Ein und Ausgabe: Farbmetrisches Drucker-Reflektiv-System FRS19_96, L*=19_96 für relativen CIELAB-Buntton $h^* = lab^*h^* = h_{ab}/360 = 0.913$ $u^*_E = b50r$

Daten für jede Farbe:
*lab*ch** und *lab*icu**
Buntontexte:
u^*_E = *b50r* u^*_A = *v55m*
Kontrastreduzierungsfaktor:
c_R = 1.0
Dreiecks-Helligkeit i^*

Daten für Maximalfarbe (Ma):
*LAB*LAB**$_{Ma}$: 38 47 −28
*LAB*LCH**$_{Ma}$: 38 55 328
*lab*rgb**$_{Ma}$: 1.0 0.0 1.0
*lab*olv**$_{Ma}$: 0.56 0.0 1.0
Dreiecks-Helligkeit i^*

%Umfang
u^*_{vol} = 89
%Regularität
$g^*_{H,rel}$ = 72
$g^*_{C,rel}$ = 57

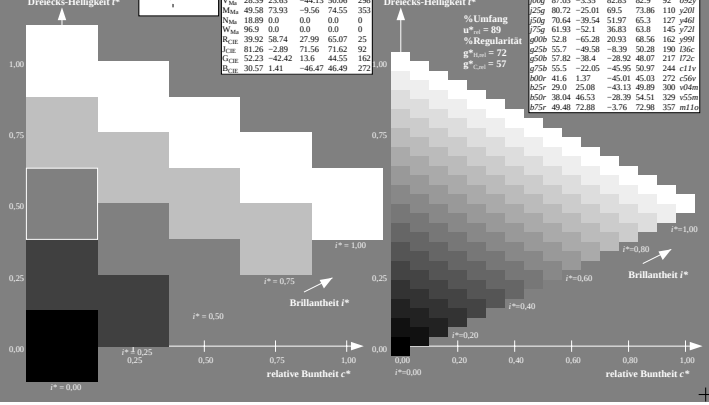

FRS19_96a; adaptierte CIELAB-Daten

u^*_E	$L^*=L^*_E$	a^*_E	b^*_E	$C^*_{ab,E}$	$h^*_{ab,E}$	u^*_A
O_{Ma}	48.75	65.07	39.43	76.08	31	
Y_{Ma}	90.92	−10.29	87.24	87.85	97	
L_{Ma}	52.69	−65.44	20.75	68.65	162	
C_{Ma}	59.61	−28.98	−46.22	54.56	238	
V_{Ma}	28.39	23.63	−44.13	50.06	298	
M_{Ma}	49.58	73.93	−9.56	74.55	353	
N_{Ma}	18.89	0.0	0.0	0.0	0	
W_{Ma}	96.9	0.0	0.0	0.0	0	
R_{CIE}	39.92	58.74	27.99	65.07	25	
J_{CIE}	81.26	−2.89	71.56	71.62	92	
C_{CIE}	52.23	−42.42	13.6	44.55	162	
B_{CIE}	30.57	1.41	−46.47	46.49	272	

u^*_A	$L^*=L^*_A$	a^*_A	b^*_A	$C^*_{ab,A}$	$h^*_{ab,A}$	u^*_E
y00j	48.88	66.47	31.67	73.63	25	*m84o*
r25j	55.85	52.39	47.48	70.7	42	*o17y*
r50j	65.45	35.22	58.37	68.17	59	*o42y*
r75j	75.19	17.82	69.41	71.66	76	*o67y*
y00g	87.03	−3.35	82.83	82.9	92	*o92y*
y25g	80.72	−25.01	69.5	73.86	110	*y20l*
y50g	70.64	−39.54	51.97	65.3	127	*y46l*
y75g	61.93	−52.1	36.83	63.8	145	*y72l*
g00b	52.8	−65.28	20.93	68.56	162	*y99l*
g25b	55.7	−49.58	−8.39	50.28	190	*l36c*
g50b	57.82	−38.4	−28.92	48.07	217	*l72c*
g75b	55.5	−22.05	−45.95	50.97	244	*c11v*
b00r	41.6	1.37	−45.01	45.03	272	*c56v*
b25r	29.0	25.08	−43.13	49.89	300	*v04m*
b50r	38.04	46.53	−28.39	54.51	329	*v55m*
b75r	49.48	72.88	−3.76	72.98	357	*m11o*

Ein und Ausgabe: Farbmetrisches Drucker-Reflektiv-System FRS19_96, L*=19_96 für relativen CIELAB-Buntton $h^* = lab^*h^* = h_{ab}/360 = 0.992$ $u^*_E = b75r$

Daten für jede Farbe:
*lab*ch** und *lab*icu**
Buntontexte:
u^*_E = *b75r* u^*_A = *m11o*
Kontrastreduzierungsfaktor:
c_R = 1.0
Dreiecks-Helligkeit i^*

Daten für Maximalfarbe (Ma):
*LAB*LAB**$_{Ma}$: 49 73 −4
*LAB*LCH**$_{Ma}$: 49 73 357
*lab*rgb**$_{Ma}$: 1.0 0.0 0.5
*lab*olv**$_{Ma}$: 1.0 0.0 0.89
Dreiecks-Helligkeit i^*

%Umfang
u^*_{vol} = 89
%Regularität
$g^*_{H,rel}$ = 72
$g^*_{C,rel}$ = 57

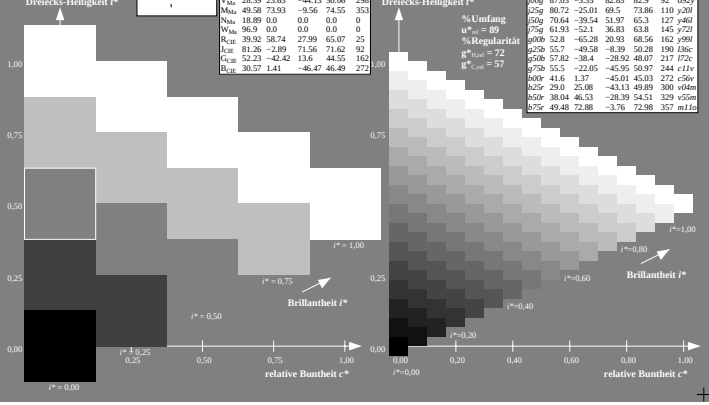

FRS19_96a; adaptierte CIELAB-Daten

u^*_E	$L^*=L^*_E$	a^*_E	b^*_E	$C^*_{ab,E}$	$h^*_{ab,E}$	u^*_A
O_{Ma}	48.75	65.07	39.43	76.08	31	
Y_{Ma}	90.92	−10.29	87.24	87.85	97	
L_{Ma}	52.69	−65.44	20.75	68.65	162	
C_{Ma}	59.61	−28.98	−46.22	54.56	238	
V_{Ma}	28.39	23.63	−44.13	50.06	298	
M_{Ma}	49.58	73.93	−9.56	74.55	353	
N_{Ma}	18.89	0.0	0.0	0.0	0	
W_{Ma}	96.9	0.0	0.0	0.0	0	
R_{CIE}	39.92	58.74	27.99	65.07	25	
J_{CIE}	81.26	−2.89	71.56	71.62	92	
C_{CIE}	52.23	−42.42	13.6	44.55	162	
B_{CIE}	30.57	1.41	−46.47	46.49	272	
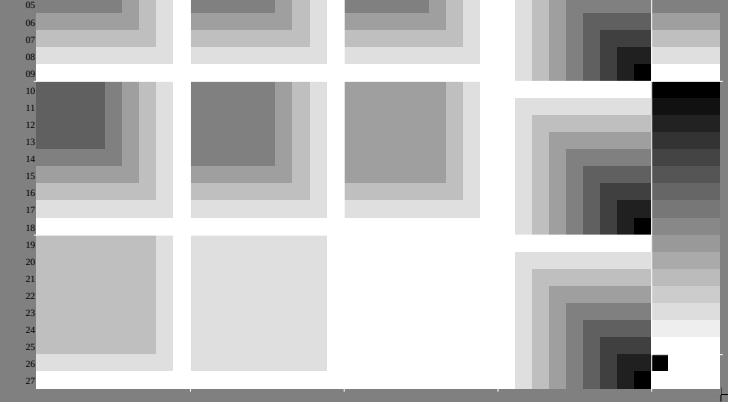
u^*_A	$L^*=L^*_A$	a^*_A	b^*_A	$C^*_{ab,A}$	$h^*_{ab,A}$	u^*_E
y00j	48.88	66.47	31.67	73.63	25	*m84o*
r25j	55.85	52.39	47.48	70.7	42	*o17y*
r50j	65.45	35.22	58.37	68.17	59	*o42y*
r75j	75.19	17.82	69.41	71.66	76	*o67y*
y00g	87.03	−3.35	82.83	82.9	92	*o92y*
y25g	80.72	−25.01	69.5	73.86	110	*y20l*
y50g	70.64	−39.54	51.97	65.3	127	*y46l*
y75g	61.93	−52.1	36.83	63.8	145	*y72l*
g00b	52.8	−65.28	20.93	68.56	162	*y99l*
g25b	55.7	−49.58	−8.39	50.28	190	*l36c*
g50b	57.82	−38.4	−28.92	48.07	217	*l72c*
g75b	55.5	−22.05	−45.95	50.97	244	*c11v*
b00r	41.6	1.37	−45.01	45.03	272	*c56v*
b25r	29.0	25.08	−43.13	49.89	300	*v04m*
b50r	38.04	46.53	−28.39	54.51	329	*v55m*
b75r	49.48	72.88	−3.76	72.98	357	*m11o*